

## (432) 湿潤下における塗膜密着力の経時変化

住友金属工業㈱ 総合技術研究所

○壱岐島健司

松尾左千夫

塩田俊明

## 1. 緒言

塗装鋼板の構造接着を考える場合、湿潤下における塗膜密着力の低下は、重大な問題である。今回ポリエスチル系塗膜について湿潤接着強度を測定し、若干の知見を得たので以下報告する。

## 2. 実験方法

実験に供した塗装鋼板の構成につき、Table 1 に示す。サンプルは  $25\text{mm} \times 150\text{mm}$  の短柵状塗装鋼板 2 枚を接着剤にてはり合わせ、湿潤あるいは温水浸漬を行なった接着強度は、T型剥離試験（引張速度  $50\text{mm/min}$ ）にて評価した。

Table 1. Structure of sample

Base Metal	Galvanized Steel (0.5t, $60\text{g/m}^2$ )
Pre-treatment	Zinc Phosphate ( $1\text{g/m}^2$ ) + Chromate Rinse ( $5\text{mg/m}^2$ )
Paint	Oil-free Polyester ( $5\mu\text{m}$ )

## 3. 実験結果および考察

- ① 初期剥離面は、接着剤／塗膜界面剥離であるが、湿潤、あるいは温水浸漬により端面部より塗膜剥離長さ  $a$  が増加し、それに伴ない剥離強度  $F$  が低下する。
- ② 塗膜がほぼ全面剥離した時点より、接着強度は一定値を示すようになる。（Fig. 1, 2）
- ③ 各種の浸漬温度における塗膜全面剥離を生じるまでの時間を Fig. 3 により求めた。Arrhenius プロットにより常温水浸漬による塗膜全面剥離までの時間  $\theta$  は、約 1 年以上と推察される。（Fig. 4）

- ④ 一方、水の侵入経路について調査すべく、サンプル

端部に非接着部を設け、浸漬実験を行なった。図中 A の経路が支配的な時、剥離形態は II 型となるが、結果は I 型であり、水の侵入経路は B, C, D のいずれかと推察される。

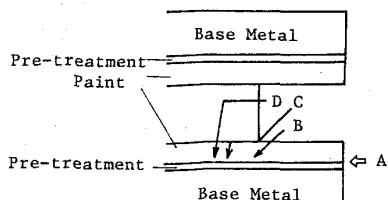
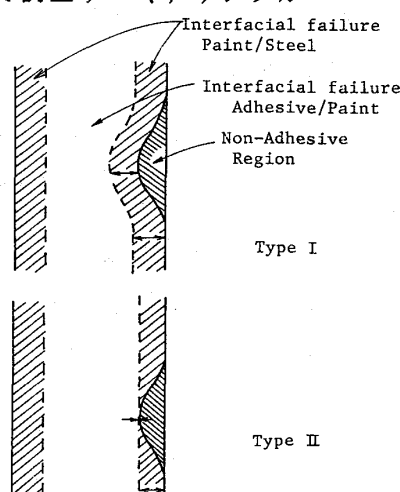


Fig. 5 Appearance of Test Sample

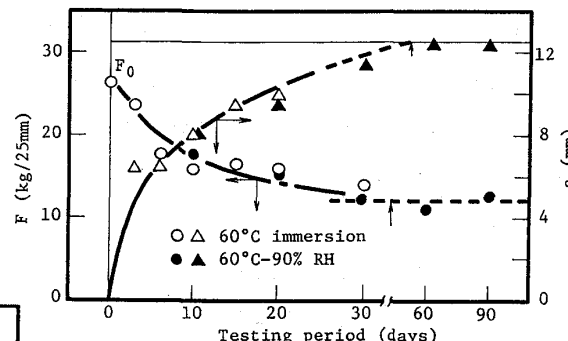


Fig. 1 Transition of Adhesion

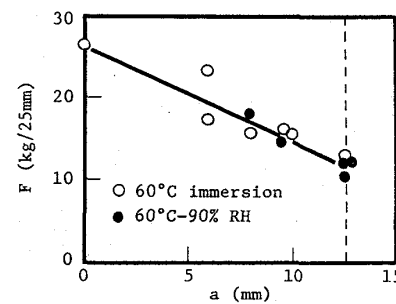
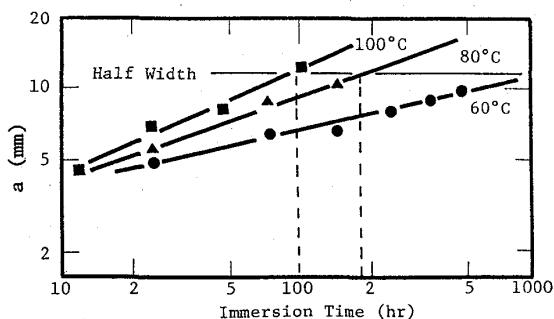
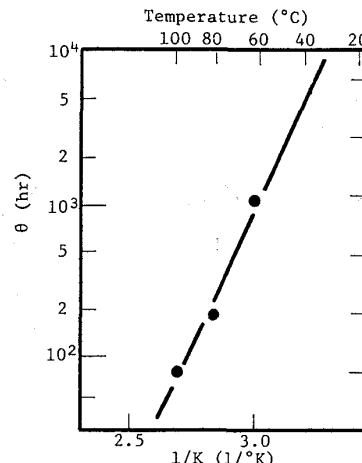
Fig. 2 Relationship between  $a$  and  $F$ Fig. 3 Time vs.  $a$ 

Fig. 4 Arrhenius Plot